

# 第 1 章 电磁场理论

## 1.1 麦克斯韦方程

19 世纪 60 年代, 英国物理学家麦克斯韦(Maxwell)在前人成就的基础上, 提出了涡旋电场和位移电流假设, 并凭借他高深的数学造诣, 将电磁场理论用简洁、对称、完美的数学形式表示出来, 经后人整理和改写, 成为完整描述客观电磁场的一套基本方程, 称为麦克斯韦方程。根据这组方程, 麦克斯韦预言了电磁波的存在, 并确认光波的电磁本质。迄今为止, 麦克斯韦的经典电磁理论仍然是分析光的传输问题的理论基础。

电磁场可以用电场强度  $\vec{E}$ 、电位移矢量  $\vec{D}$ 、磁场强度  $\vec{H}$  以及磁感应强度  $\vec{B}$  四个场矢量描述, 它们是位置矢量  $\vec{r}$  和时间  $t$  的函数, 场矢量随空间和时间的变化规律由如下麦克斯韦方程给出

$$\nabla \times \vec{E} = -\frac{\partial \vec{B}}{\partial t} \quad (1.1-1a)$$

$$\nabla \times \vec{H} = \frac{\partial \vec{D}}{\partial t} + \vec{J} \quad (1.1-1b)$$

$$\nabla \cdot \vec{D} = \rho \quad (1.1-1c)$$

$$\nabla \cdot \vec{B} = 0 \quad (1.1-1d)$$

式中,  $\vec{J}$  为传导电流密度,  $\rho$  为自由电荷密度。

实际应用中, 为完全确定电磁场矢量随时间和空间的变化, 除此基本方程外, 还必须借助于电磁场与介质的相互作用关系, 即物质方程

$$\vec{J} = \gamma \vec{E} \quad (1.1-2a)$$

$$\vec{D} = \epsilon_0 \vec{E} + \vec{P} \quad (1.1-2b)$$

$$\vec{B} = \mu_0 (\vec{H} + \vec{M}) \quad (1.1-2c)$$

式中,  $\gamma$  为介质的电导率,  $\vec{P}$  为介质的极化强度,  $\vec{M}$  为磁化强度,  $\epsilon_0$  和  $\mu_0$  分别为真空介电常数和真空磁导率。如果是各向同性的线性介质, 则其极化强度和磁化强度分别与电场强度和磁场强度成线性关系, 即

$$\vec{P} = \epsilon_0 \chi_e \vec{E} \quad (1.1-3a)$$

$$\vec{M} = \chi_m \vec{H} \quad (1.1-3b)$$

式中,  $\chi_e$  和  $\chi_m$  分别是介质的极化率和磁化率, 则物质方程可简化为

$$\vec{D} = \epsilon_0 \epsilon_r \vec{E} = \epsilon \vec{E} \quad (1.1-4a)$$

$$\vec{B} = \mu_0 \mu_r \vec{H} = \mu \vec{H} \quad (1.1-4b)$$

式中,  $\epsilon_r = 1 + \chi_e$ ,  $\mu_r = 1 + \chi_m$ , 分别是介质的相对介电常数和相对磁导率,  $\epsilon$  和  $\mu$  分别是介质的介电常数和磁导率。介质的折射率  $n = \sqrt{\epsilon_r \mu_r}$ , 对非铁磁性介质,  $\mu_r \approx 1$ , 因此认为一般情况下介质的折射率为  $n = \sqrt{\epsilon_r}$ 。

在各向异性介质中, 介质的极化强度和磁化强度与电磁场的方向有关, 即  $\chi_e$  和  $\chi_m$  不再是

常数, 因此 $\epsilon$ 和 $\mu$ 也不再是常数, 它们都要用二阶张量表示。物质方程在直角(笛卡儿)坐标系中需写成

$$\begin{bmatrix} D_x \\ D_y \\ D_z \end{bmatrix} = \begin{bmatrix} \epsilon_{11} & \epsilon_{12} & \epsilon_{13} \\ \epsilon_{21} & \epsilon_{22} & \epsilon_{23} \\ \epsilon_{31} & \epsilon_{32} & \epsilon_{33} \end{bmatrix} \begin{bmatrix} E_x \\ E_y \\ E_z \end{bmatrix} \quad (1.1-5a)$$

$$\begin{bmatrix} B_x \\ B_y \\ B_z \end{bmatrix} = \begin{bmatrix} \mu_{11} & \mu_{12} & \mu_{13} \\ \mu_{21} & \mu_{22} & \mu_{23} \\ \mu_{31} & \mu_{32} & \mu_{33} \end{bmatrix} \begin{bmatrix} H_x \\ H_y \\ H_z \end{bmatrix} \quad (1.1-5b)$$

当介质无吸收和无旋光性时,  $\epsilon_{ij}$  是实数, 并且介电张量是对称的, 即 $\epsilon_{ij} = \epsilon_{ji}$ 。式(1.1-5a)经主轴变换后, 介电张量只有三个对角分量, 在主轴坐标系中物质方程可表示为

$$\begin{bmatrix} D_x \\ D_y \\ D_z \end{bmatrix} = \begin{bmatrix} \epsilon_x & 0 & 0 \\ 0 & \epsilon_y & 0 \\ 0 & 0 & \epsilon_z \end{bmatrix} \begin{bmatrix} E_x \\ E_y \\ E_z \end{bmatrix} \quad (1.1-6)$$

对于非磁性各向异性介质,  $\vec{B}$  和  $\vec{H}$  的关系与各向同性的介质是一样的, 所以通常介质的各向异性主要表现在对电磁波中电场的作用。

## 1.2 电磁场边界条件

在利用麦克斯韦方程解决有限空间的电磁场问题, 或者涉及两种及两种以上介质内的电磁场问题时, 除了考虑物质方程外, 还必须考虑介电常数不连续处的边界条件。因为物理量在界面上发生跃变, 微分形式的麦克斯韦方程不再适用, 需利用如下麦克斯韦方程的积分形式

$$\oint_L \vec{E} \cdot d\vec{L} = -\frac{\partial}{\partial t} \iint_S \vec{B} \cdot d\vec{S} \quad (1.2-1a)$$

$$\oint_L \vec{H} \cdot d\vec{L} = \iint_S \left( \vec{J} + \frac{\partial \vec{D}}{\partial t} \right) \cdot d\vec{S} \quad (1.2-1b)$$

$$\oiint_S \vec{D} \cdot d\vec{S} = \iiint_V \rho dV \quad (1.2-1c)$$

$$\oiint_S \vec{B} \cdot d\vec{S} = 0 \quad (1.2-1d)$$

如图 1.1 所示, 设两种介质的电磁参数分别为 $\epsilon_1$ 、 $\mu_1$  和  $\epsilon_2$ 、 $\mu_2$ , 折射率分别为  $n_1$  和  $n_2$ , 分界面法线方向的单位矢量为  $\vec{n}$ , 切向单位矢量为  $\vec{\tau}$ 。在界面附近沿界面的切向取一个小的狭长矩形回路, 如图 1.1(a) 所示。回路两个长边分别在两种介质内, 平行并无限靠近界面, 短边趋于零, 则回路所围曲面面积趋于零, 利用式(1.2-1a)和式(1.2-1b), 可得

$$\vec{n} \times (\vec{E}_2 - \vec{E}_1) = 0 \quad (1.2-2a)$$

$$\vec{n} \times (\vec{H}_2 - \vec{H}_1) = \vec{J}_S \quad (1.2-2b)$$

式中,  $\vec{J}_S$  为面电流密度。

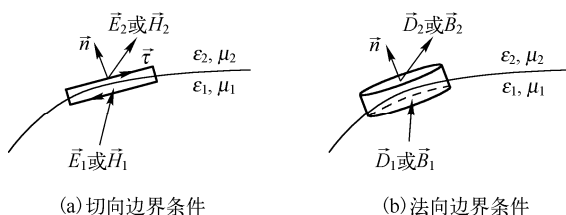


图 1.1 电磁场边值关系示意图

在两种介质的分界面附近取一小的扁平状圆柱，如图 1.1(b) 所示。圆柱的两个底面分别在两种介质内，平行并无限靠近界面，柱高趋于零，则侧面面积趋于零，利用式 (1.2-1c) 和式 (1.2-1d)，可得

$$\vec{n} \cdot (\vec{D}_2 - \vec{D}_1) = \sigma_S \quad (1.2-2c)$$

$$\vec{n} \cdot (\vec{B}_2 - \vec{B}_1) = 0 \quad (1.2-2d)$$

式中， $\sigma_S$  为电荷面密度。

对非导电介质， $\sigma_S = 0$ ， $J_S = 0$ ，四个电磁场矢量的边界条件可简化为

$$\vec{n} \times (\vec{E}_2 - \vec{E}_1) = 0 \quad (1.2-3a)$$

$$\vec{n} \times (\vec{H}_2 - \vec{H}_1) = 0 \quad (1.2-3b)$$

$$\vec{n} \cdot (\vec{D}_2 - \vec{D}_1) = 0 \quad (1.2-3c)$$

$$\vec{n} \cdot (\vec{B}_2 - \vec{B}_1) = 0 \quad (1.2-3d)$$

该边界条件表明，在界面上，电位移矢量和磁感应强度的法向分量连续，电场强度和磁场强度的切向分量连续，即

$$D_{1n} = D_{2n} \quad (1.2-4a)$$

$$B_{1n} = B_{2n} \quad (1.2-4b)$$

$$E_{1\tau} = E_{2\tau} \quad (1.2-4c)$$

$$H_{1\tau} = H_{2\tau} \quad (1.2-4d)$$

对各向同性的线性介质，式 (1.2-4a) 也经常写作  $n_1^2 E_{1n} = n_2^2 E_{2n}$ 。

### 1.3 单色平面电磁波

确定频率的电磁波，电磁场对时间的依赖关系是  $e^{i\omega t}$ ，所以单色电磁波的基本表示式为

$$\vec{E}(\vec{r}, t) = \vec{E}(\vec{r})e^{i\omega t} \quad (1.3-1a)$$

$$\vec{H}(\vec{r}, t) = \vec{H}(\vec{r})e^{i\omega t} \quad (1.3-1b)$$

因而  $\frac{\partial}{\partial t} \vec{E} = i\omega \vec{E}$ ， $\frac{\partial}{\partial t} \vec{H} = i\omega \vec{H}$ 。对于各向同性的线性光学介质（通常为非导体）， $\rho = 0$ ， $J = 0$ ， $\vec{D} = \epsilon \vec{E}$ ， $\vec{B} = \mu \vec{H}$ ，由此，麦克斯韦方程式 (1.1-1) 可简化为不含时间因子的形式，即

$$\nabla \times \vec{E} = -i\omega \mu \vec{H} \quad (1.3-2a)$$

$$\nabla \times \vec{H} = i\omega \epsilon \vec{E} \quad (1.3-2b)$$

$$\nabla \cdot \vec{D} = 0 \quad (1.3-2c)$$

$$\nabla \cdot \vec{B} = 0 \quad (1.3-2d)$$

上式为单色电磁波的基本方程。这组方程只有前两式是独立的，其他两式可以由前两式取散度运算导出。虽然对于非磁性介质， $\mu_r \approx 1$ ， $\mu \approx \mu_0$ ，但为了方程形式上的完美和对称，这里仍用  $\mu$  表示，只是涉及到具体数值运算时用  $\mu_0$  代替  $\mu$ 。

按照激发形式的不同和传播介质及其边界条件的限制，电磁波的场强  $\vec{E}(\vec{r})$  和  $\vec{H}(\vec{r})$  可以有各种不同的形式。单色平面电磁波是电磁波的最单纯、最基本的理想形式，其特征是等相位面为平面，电磁波有确定的传播方向。场量可表示为

$$\vec{E}(\vec{r}, t) = \vec{E}_0 e^{i\omega t - i\vec{K} \cdot \vec{r}} \quad (1.3-3a)$$

$$\vec{H}(\vec{r}, t) = \vec{H}_0 e^{i\omega t - i\vec{K} \cdot \vec{r}} \quad (1.3-3b)$$

式中,  $\vec{E}_0$ 、 $\vec{H}_0$  为振幅矢量,  $\vec{K}$  为波矢, 其方向为波的传播方向。将上面二式代入基本方程式 (1.3-2a) 和式 (1.3-2b), 得

$$\vec{K} \times \vec{E}_0 = \omega \mu \vec{H}_0 \quad (1.3-4a)$$

$$\vec{K} \times \vec{H}_0 = -\omega \varepsilon \vec{E}_0 \quad (1.3-4b)$$

可见平面电磁波的  $\vec{K}$ 、 $\vec{E}$ 、 $\vec{H}$  三矢量彼此正交, 进而说明均匀介质中的平面电磁波是横电磁波 (TEM 波)。由上式可得

$$K E_0 = \omega \mu H_0 \quad (1.3-5a)$$

$$K H_0 = \omega \varepsilon E_0 \quad (1.3-5b)$$

将式 (1.3-5a) 与式 (1.3-5b) 相除, 得

$$\frac{E_0}{H_0} = \frac{\mu H_0}{\varepsilon E_0} \quad (1.3-6)$$

$$\frac{E_0}{H_0} = \sqrt{\frac{\mu}{\varepsilon}} \quad (1.3-7)$$

式中,  $\sqrt{\mu/\varepsilon}$  为介质的波阻抗, 用  $Z$  表示, 也可以写作  $Z = Z_0/n$ , 其中  $Z_0 = \sqrt{\mu_0/\varepsilon_0} = 376.7\Omega$ , 称作真空波阻抗。

将式 (1.3-5a) 与式 (1.3-5b) 相乘, 得

$$K^2 = \omega^2 \mu \varepsilon = \omega^2 \mu_0 \varepsilon_0 n^2 \quad (1.3-8)$$

或者 
$$K = n \frac{\omega}{c} = n K_0 \quad (1.3-9)$$

$$K_0 = \omega/c = 2\pi/\lambda \quad (1.3-10)$$

$\lambda$  和  $K_0$  分别代表电磁波在真空中的波长和波数。

## 1.4 坡印亭矢量和传输功率

电磁场的瞬态能量密度为

$$w = \frac{1}{2} \varepsilon E^2(\vec{r}, t) + \frac{1}{2} \mu H^2(\vec{r}, t) \quad (1.4-1)$$

电磁波传输的能流密度, 即单位时间内通过单位面积的能量, 由坡印亭 (Poynting) 矢量表示为

$$\vec{S} = \vec{E}(\vec{r}, t) \times \vec{H}(\vec{r}, t) \quad (1.4-2)$$

对式 (1.3-1) 表示的单体电磁波, 因为含有时间因子项  $e^{i\omega t}$ , 所以上式表示的是电磁场的瞬态能流密度。为了得到实际能流密度, 需要进行适当的时间平均。现有电磁理论中,  $\vec{E}$  和  $\vec{H}$  除时间因子外,  $E(\vec{r})$  和  $H(\vec{r})$  也往往用复数形式表示, 所以对它们的二次形式的运算必须进行实数化处理, 将式 (1.4-2) 写作

$$\begin{aligned} \vec{S} &= \text{Re}[\vec{E}(\vec{r}, t)] \times \text{Re}[\vec{H}(\vec{r}, t)] \\ &= \frac{1}{2} [\vec{E}(\vec{r}) e^{i\omega t} + \vec{E}^*(\vec{r}) e^{-i\omega t}] \times \frac{1}{2} [(\vec{H}(\vec{r}) e^{i\omega t} + \vec{H}^*(\vec{r}) e^{-i\omega t})] \end{aligned} \quad (1.4-3)$$

注意到在式 (1.4-3) 展开式的 4 项中,  $\vec{E} \times \vec{H}$  和  $\vec{E}^* \times \vec{H}^*$  两项分别含有  $e^{i2\omega t}$  和  $e^{-i2\omega t}$  因子, 因而时间平均值为零, 所以可得到平均能流密度

$$\vec{S} = \frac{1}{4} [\vec{E}(\vec{r}) \times \vec{H}^*(\vec{r}) + \vec{E}^*(\vec{r}) \times \vec{H}(\vec{r})]$$

$$= \frac{1}{2} \operatorname{Re}[\bar{\mathbf{E}}(\bar{\mathbf{r}}) \times \bar{\mathbf{H}}^*(\bar{\mathbf{r}})] \quad (1.4-4)$$

这也是文献中经常引用的公式。单位时间通过某曲面  $S$  的能流，即通过  $S$  面的传输功率为

$$P = \iint_S \frac{1}{2} \operatorname{Re}[\bar{\mathbf{E}}(\bar{\mathbf{r}}) \times \bar{\mathbf{H}}^*(\bar{\mathbf{r}})] \cdot \bar{\mathbf{n}} dS \quad (1.4-5)$$

在直角坐标系中，当光波沿  $z$  轴传播时，坡印亭矢量只有  $z$  分量。光强可表示为

$$I = |\bar{S}_z| = \frac{1}{2} \operatorname{Re}[E_x(x, y)H_y^*(x, y) - E_y(x, y)H_x^*(x, y)] \quad (1.4-6)$$

传输功率的表达式为

$$P = \iint_{-\infty}^{\infty} \frac{1}{2} \operatorname{Re}(E_x H_y^* - E_y H_x^*) dx dy \quad (1.4-7)$$

对于单色平面波，平均能量密度为

$$\bar{w} = \frac{1}{4} \varepsilon E_0^2 + \frac{1}{4} \mu H_0^2 = \frac{1}{2} \varepsilon E_0^2 \quad (1.4-8)$$

平均能流密度和光强分别为

$$\bar{\mathbf{S}} = \frac{1}{2} \bar{\mathbf{E}}_0 \times \bar{\mathbf{H}}_0 \quad (1.4-9)$$

$$I = \frac{1}{2} E_0 H_0 = \frac{\bar{w} c}{n} \quad (1.4-10)$$

## 1.5 亥姆霍兹方程

在各向同性的线性光学介质中，考虑到非均匀情况，介电常数  $\varepsilon$  依赖于空间位置，即  $\varepsilon = \varepsilon(\bar{\mathbf{r}})$ ，但磁导率  $\mu$  总是近似等于真空磁导率  $\mu_0$ 。为得到  $\bar{\mathbf{E}}$  和  $\bar{\mathbf{H}}$  各自独立的方程，对与时间无关的基本方程式 (1.3-2a)： $\nabla \times \bar{\mathbf{E}} = -i\omega\mu\bar{\mathbf{H}}$  和式 (1.3-2b)： $\nabla \times \bar{\mathbf{H}} = i\omega\varepsilon\bar{\mathbf{E}}$  进行微分运算，得

$$\nabla \times \nabla \times \bar{\mathbf{E}} = -i\omega\mu\nabla \times \bar{\mathbf{H}} \quad (1.5-1a)$$

$$\nabla \times \nabla \times \bar{\mathbf{H}} = i\omega\nabla \times \varepsilon\bar{\mathbf{E}} \quad (1.5-1b)$$

再利用矢量微分公式： $\nabla \times \nabla \times \bar{\mathbf{A}} = \nabla(\nabla \cdot \bar{\mathbf{A}}) - \nabla^2 \bar{\mathbf{A}}$ ，将上面二式化为

$$\nabla(\nabla \cdot \bar{\mathbf{E}}) - \nabla^2 \bar{\mathbf{E}} = K^2 \bar{\mathbf{E}} \quad (1.5-2a)$$

$$\nabla(\nabla \cdot \bar{\mathbf{H}}) - \nabla^2 \bar{\mathbf{H}} = i\omega\varepsilon\nabla \times \bar{\mathbf{E}} + i\omega\nabla \varepsilon \times \bar{\mathbf{E}} \quad (1.5-2b)$$

同时注意到  $\nabla \cdot \bar{\mathbf{B}} = 0$ ，则有  $\nabla \cdot \bar{\mathbf{H}} = 0$ 。再由  $\nabla \cdot \bar{\mathbf{D}} = 0$ ，可得

$$\nabla \cdot \varepsilon\bar{\mathbf{E}} = \nabla \varepsilon \cdot \bar{\mathbf{E}} + \varepsilon \nabla \cdot \bar{\mathbf{E}} = 0$$

$$\nabla \cdot \bar{\mathbf{E}} = -\frac{\nabla \varepsilon \cdot \bar{\mathbf{E}}}{\varepsilon} = -\frac{\nabla \varepsilon_r \cdot \bar{\mathbf{E}}}{\varepsilon_r} \quad (1.5-3)$$

由此得到非均匀介质中关于电场和磁场的独立的微分方程，即亥姆霍兹 (Helmholtz) 方程

$$\nabla^2 \bar{\mathbf{E}} + n^2 K_0^2 \bar{\mathbf{E}} + \nabla \left( \frac{\nabla \varepsilon_r \cdot \bar{\mathbf{E}}}{\varepsilon_r} \right) = 0 \quad (1.5-4a)$$

$$\nabla^2 \bar{\mathbf{H}} + n^2 K_0^2 \bar{\mathbf{H}} + \frac{\nabla \varepsilon_r}{\varepsilon_r} \times (\nabla \times \bar{\mathbf{H}}) = 0 \quad (1.5-4b)$$

对于非均匀介质，上面两方程中含  $\nabla \varepsilon_r / \varepsilon_r$  的附加项不能随意舍弃，由于方程的复杂性，求解是很困难的。但在研究光波导中的光传输特性时，所涉及的介质要么分区均匀，要么介质折射率或相对介电常数随空间位置变化缓慢。当介质均匀时， $\nabla \varepsilon_r = 0$ ，式 (1.5-4) 简化为

$$\nabla^2 \vec{E} + n^2 K_0^2 \vec{E} = 0 \quad (1.5-5a)$$

$$\nabla^2 \vec{H} + n^2 K_0^2 \vec{H} = 0 \quad (1.5-5b)$$

这是标准的常系数亥姆霍兹方程。当介质缓慢变化时，如在电磁场的波长 $\lambda$ 范围内，满足条件 $|\nabla \varepsilon_r / \varepsilon_r| \lambda \ll 1$ ，这种介质称作缓变介质。以方程(1.5-4b)为例，比较第三项与第二项的大小，因为一般空间矢量算符 $\nabla$ 作用于某一场量时，形式上可等效于 $i\vec{K}$ 对场量作用，由此，两项大小之比为

$$\frac{|\nabla \varepsilon_r \times (\nabla \times \vec{H}) / \varepsilon_r|}{n^2 K_0^2 H} \leq \frac{|\nabla \varepsilon_r K / \varepsilon_r|}{n^2 K_0^2} = \frac{|\nabla \varepsilon_r|}{\varepsilon_r n K_0} = \frac{|\nabla \varepsilon_r| \lambda}{\varepsilon_r} \frac{1}{2\pi n}$$

方程(1.5-4a)的第三项与第二项大小之比也有同样的结果。对缓变介质，这一比值一般小于 $10^{-2}$ 。实际波导和光纤，介质的非均匀性通常满足缓变条件，所以，忽略式(1.5-4)两个方程中的最后一项，仍可保持较高精度的近似。从而得到变系数的亥姆霍兹方程

$$\nabla^2 \vec{E} + n^2(\vec{r}) K_0^2 \vec{E} = 0 \quad (1.5-6a)$$

$$\nabla^2 \vec{H} + n^2(\vec{r}) K_0^2 \vec{H} = 0 \quad (1.5-6b)$$

## 1.6 平面电磁波的反射和折射

电磁波入射到介质分界面时，将发生反射和折射现象。如图 1.2 所示，设电磁波以入射角 $\alpha$ 从介质 1 射向介质 2， $x=0$  平面为分界面，反射角为 $\alpha'$ ，折射角为 $\gamma$ 。入射波、反射波和折射波三个平面波分别表示为

$$\vec{E}_1 = \vec{E}_{10} e^{-i\vec{K}_1 \cdot \vec{r}}, \quad \vec{E}_2 = \vec{E}_{20} e^{-i\vec{K}_2 \cdot \vec{r}}, \quad \vec{E}_3 = \vec{E}_{30} e^{-i\vec{K}_3 \cdot \vec{r}}$$

根据边界条件式(1.2-3a)，有

$$\vec{n} \times (\vec{E}_{10} e^{-i\vec{K}_1 \cdot \vec{r}} + \vec{E}_{20} e^{-i\vec{K}_2 \cdot \vec{r}}) = \vec{n} \times \vec{E}_{30} e^{-i\vec{K}_3 \cdot \vec{r}} \quad (1.6-1)$$

由于 $\vec{K} \cdot \vec{r} = K_x x + K_y y + K_z z$ ，特别地，在 $x=0$ 界面上， $\vec{K} \cdot \vec{r} = K_y y + K_z z$ 。若要求在 $x=0$ 平面上满足式(1.6-1)，即电场强度 $\vec{E}$ 的切向分量在 $x=0$ 平面上处处保持连续，必有

$$K_{1y} = K_{2y} = K_{3y} \quad (1.6-2)$$

$$K_{1z} = K_{2z} = K_{3z} \quad (1.6-3)$$

如入射波矢在 $xOz$ 平面内，则 $K_{1y} = K_{2y} = K_{3y} = 0$ ，说明入射波、反射波和折射波在同一平面内。

由式(1.6-3)很容易得出 $\alpha = \alpha'$ ， $n_1 \sin \alpha = n_2 \sin \gamma$ ，即所熟知的反射定律和折射定律。

由上述结果，简化式(1.6-1)，得

$$\vec{n} \times \vec{E}_{10} + \vec{n} \times \vec{E}_{20} = \vec{n} \times \vec{E}_{30} \quad (1.6-4)$$

同样，根据磁场强度 $\vec{H}$ 的切向分量处处保持连续的边界条件式(1.2-3b)，有

$$\vec{n} \times \vec{H}_{10} + \vec{n} \times \vec{H}_{20} = \vec{n} \times \vec{H}_{30} \quad (1.6-5)$$

由于每一束平面电磁波都有两个独立的偏振态，下面按两种偏振状态分别处理。如图 1.2 所示，一种为电场振动方向垂直于入射面，称 TE 偏振；一种为磁场振动方向垂直于入射面，称 TM 偏振。

- 当电磁波呈 TE 偏振态时， $\vec{E}$  矢量垂直于入射面，电场切向分量 $E_y$ 和磁场切向分量 $H_z$ 连续，因此

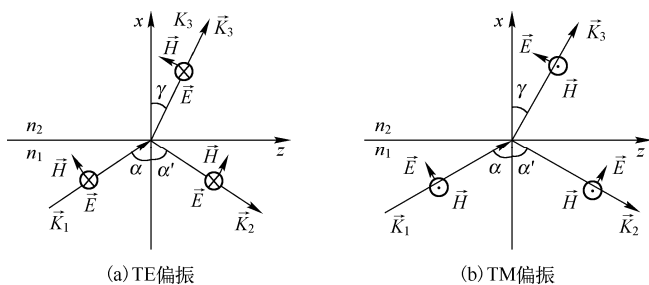


图 1.2 电磁波在介质界面上的反射与折射

$$E_{10} + E_{20} = E_{30} \quad (E_y \text{ 连续}) \quad (1.6-6)$$

$$H_{10} \cos \alpha - H_{20} \cos \alpha = H_{30} \cos \gamma \quad (H_z \text{ 连续}) \quad (1.6-7)$$

根据式(1.3-7),  $E_0/H_0 = \sqrt{\mu/\varepsilon}$ , 且  $\mu = \mu_0$ , 式(1.6-7)可写成

$$n_1 E_{10} \cos \alpha - n_1 E_{20} \cos \alpha = n_2 E_{30} \cos \gamma \quad (1.6-8)$$

由式(1.6-6)和式(1.6-8)可得 TE 偏振下的反射系数和折射系数, 分别为

$$r_{\text{TE}} = \frac{E_{20}}{E_{10}} = \frac{n_1 \cos \alpha - n_2 \cos \gamma}{n_1 \cos \alpha + n_2 \cos \gamma} = -\frac{\sin(\alpha - \gamma)}{\sin(\alpha + \gamma)} \quad (1.6-9)$$

$$t_{\text{TE}} = \frac{E_{30}}{E_{10}} = \frac{2n_1 \cos \alpha}{n_1 \cos \alpha + n_2 \cos \gamma} = \frac{2 \cos \alpha \sin \gamma}{\sin(\alpha + \gamma)} \quad (1.6-10)$$

- 当电磁波呈 TM 偏振态时,  $\vec{H}$  矢量垂直于入射面, 磁场切向分量  $H_y$  和电场切向分量  $E_z$  连续, 因此

$$H_{10} + H_{20} = H_{30} \quad (H_y \text{ 连续}) \quad (1.6-11)$$

$$E_{10} \cos \alpha - E_{20} \cos \alpha = E_{30} \cos \gamma \quad (E_z \text{ 连续}) \quad (1.6-12)$$

同样根据  $E_0/H_0 = \sqrt{\mu/\varepsilon}$ , 式(1.6-11)可写成

$$n_1 E_{10} + n_1 E_{20} = n_2 E_{30} \quad (1.6-13)$$

由式(1.6-12)和式(1.6-13)可得 TM 偏振下的反射系数和折射系数, 分别为

$$r_{\text{TM}} = \frac{E_{20}}{E_{10}} = \frac{n_2 \cos \alpha - n_1 \cos \gamma}{n_2 \cos \alpha + n_1 \cos \gamma} = \frac{\tan(\alpha - \gamma)}{\tan(\alpha + \gamma)} \quad (1.6-14)$$

$$t_{\text{TM}} = \frac{E_{30}}{E_{10}} = \frac{2n_1 \cos \alpha}{n_2 \cos \alpha + n_1 \cos \gamma} = \frac{2 \cos \alpha \sin \gamma}{\sin(\alpha + \gamma) \cos(\alpha - \gamma)} \quad (1.6-15)$$

上述表示入射波、反射波及折射波的振幅关系的公式称为菲涅耳(Fresnel)公式, 两种偏振状态下的反射率和透射率分别为

$$R_{\text{TE}} = |r_{\text{TE}}|^2 \quad (1.6-16)$$

$$T_{\text{TE}} = \frac{n_2 \cos \gamma}{n_1 \cos \alpha} |t_{\text{TE}}|^2 \quad (1.6-17)$$

$$R_{\text{TM}} = |r_{\text{TM}}|^2 \quad (1.6-18)$$

$$T_{\text{TM}} = \frac{n_2 \cos \gamma}{n_1 \cos \alpha} |t_{\text{TM}}|^2 \quad (1.6-19)$$

并且对 TE 和 TM 偏振, 均有

$$R + T = 1 \quad (1.6-20)$$

## 1.7 光的全反射与倏逝波

设两种介质的折射率分别为  $n_1$  和  $n_2$ , 光波由介质 1 向介质 2 入射时, 若  $n_1 > n_2$ , 根据折射定律, 折射角  $\gamma$  将大于入射角  $\alpha$ 。当  $\gamma = 90^\circ$  时, 入射角

$$\alpha_c = \arcsin \frac{n_2}{n_1} \quad (1.7-1)$$

若入射角再增大，折射角将失去实数意义，折射光波会表现出不同于一般折射光波的物理特性。这时反射率  $R=1$ ，所以称作全反射。 $\alpha_c$  为全反射临界角，产生全反射的条件是  $\alpha > \alpha_c$ 。

入射光、反射光、折射光三个光束的相应波数分别是  $K_1 = n_1 K_0$ 、 $K_2 = n_1 K_0$ 、 $K_3 = n_2 K_0$ 。发生全反射时，介质分界面两侧电磁场的边值关系仍然成立，这里分析折射光波的波矢分量，由式(1.6-3)得

$$K_{3z} = K_{1z} = n_1 K_0 \sin \alpha \quad (1.7-2)$$

$$K_{3x} = \sqrt{K_3^2 - K_{3z}^2} = K_0 \sqrt{n_2^2 - n_1^2 \sin^2 \alpha} \quad (1.7-3)$$

当发生全反射时， $\sin \alpha > n_2/n_1$ ，所以  $K_{3x}$  为虚数，即

$$K_{3x} = \pm i K_0 \sqrt{n_1^2 \sin^2 \alpha - n_2^2} = \pm i K_0 \delta \quad (1.7-4)$$

其中

$$\delta = \sqrt{n_1^2 \sin^2 \alpha - n_2^2} \quad (1.7-5)$$

此时折射光可表示为

$$\vec{E}_3(\vec{r}) = \vec{E}_{30} e^{-K_0 \delta x} e^{-i K_{3z} z} \quad (1.7-6)$$

注意，这里为保证场沿  $x$  轴正向不为无穷大，式(1.7-4)取负号。所以，当  $\sin \alpha > n_2/n_1$  时，折射光沿表面传播( $z$  方向)，并在垂直表面方向( $x$  方向)迅速衰减，该折射光波被称作“倏逝波(Evanescent wave)”，或“消逝波”、“隐逝波”、“表面波”，这时正常的折射光消失。

倏逝波在第二种介质中的透射深度，定义为在垂直表面方向振幅减小为表面处振幅的  $1/e$  的距离，即

$$d = \frac{1}{K_0 \delta} = \frac{\lambda}{2\pi \sqrt{n_1^2 \sin^2 \alpha - n_2^2}} \quad (1.7-7)$$

## 1.8 全反射相移与古斯-汉森位移

全反射条件下，菲涅耳公式不成立， $\cos \gamma$  失去实数意义，因此反射光束和入射光束之间的关系也必须重新确定。仍采用图 1.2 的坐标系，设入射面为  $xOz$  平面，下面分别讨论两种偏振状态。

TE 偏振下，电磁波的场分量只有  $E_y$ 、 $H_x$ 、 $H_z$ ，其余分量均为零。根据切向分量连续的边界条件，有

$$E_{1y} + E_{2y} = E_{3y} \quad (1.8-1)$$

$$H_{1z} + H_{2z} = H_{3z} \quad (1.8-2)$$

由平面波方程式(1.3-4a)： $\vec{K} \times \vec{E} = \omega \mu \vec{H}$ ，得

$$K_x E_y = \omega \mu H_z \quad (1.8-3)$$

将该式代入式(1.8-2)，得

$$K_{1x} E_{1y} + K_{2x} E_{2y} = K_{3x} E_{3y} \quad (1.8-4)$$

其中  $K_{1x} = n_1 K_0 \cos \alpha$ ， $K_{2x} = -n_1 K_0 \cos \alpha$ ，并且

$$K_{3x} = -i K_0 \delta \quad (1.8-5)$$

由此可得

$$n_1 K_0 \cos \alpha (E_{1y} - E_{2y}) = -i K_0 \delta (E_{1y} + E_{2y})$$

所以，全反射条件下的反射系数为



$$\frac{E_{2y}}{E_{1y}} = \frac{n_1 \cos \alpha + i\delta}{n_1 \cos \alpha - i\delta} = \frac{e^{i\phi_{TE}}}{e^{-i\phi_{TE}}} = e^{i2\phi_{TE}} \quad (1.8-6)$$

其中

$$\phi_{TE} = \arctan \frac{\delta}{n_1 \cos \alpha} \quad (1.8-7)$$

即

$$\phi_{TE} = \arctan \frac{\sqrt{\sin^2 \alpha - n_2^2/n_1^2}}{\cos \alpha} \quad (1.8-8)$$

上述推导表明反射波与入射波振幅相等，相位差为  $2\phi_{TE}$ 。所以 TE 偏振下全反射相移为

$$\Gamma = 2\phi_{TE} \quad (1.8-9)$$

TM 偏振下，电磁波的场分量只有  $H_y$ 、 $E_x$ 、 $E_z$ ，其余分量均为零。同样根据切向分量连续的边界条件，有

$$H_{1y} + H_{2y} = H_{3y} \quad (1.8-10)$$

$$E_{1z} + E_{2z} = E_{3z} \quad (1.8-11)$$

由平面波方程式(1.3-4b)： $\vec{K} \times \vec{H} = -\omega \epsilon \vec{E}$ ，得

$$K_x H_y = -\omega \epsilon_0 n^2 E_z \quad (1.8-12)$$

将该式代入式(1.8-11)，得

$$\frac{1}{n_1^2} K_{1x} H_{1y} + \frac{1}{n_1^2} K_{2x} H_{2y} = \frac{1}{n_2^2} K_{3x} H_{3y} \quad (1.8-13)$$

结合式(1.8-10)，有

$$n_1 K_0 \cos \alpha (H_{1y} - H_{2y}) = -i K_0 \delta \frac{n_1^2}{n_2^2} (H_{1y} + H_{2y}) \quad (1.8-14)$$

从而得到 TM 偏振波在全反射条件下的反射系数

$$\frac{E_2}{E_1} = \frac{H_{2y}}{H_{1y}} = \frac{n_1 \cos \alpha + i\delta n_1^2/n_2^2}{n_1 \cos \alpha - i\delta n_1^2/n_2^2} = \frac{e^{i\phi_{TM}}}{e^{-i\phi_{TM}}} = e^{i2\phi_{TM}} \quad (1.8-15)$$

其中

$$\phi_{TM} = \arctan \frac{n_1^2}{n_2^2} \frac{\delta}{n_1 \cos \alpha} \quad (1.8-16)$$

即

$$\phi_{TM} = \arctan \left( \frac{n_1^2}{n_2^2} \frac{\sqrt{\sin^2 \alpha - n_2^2/n_1^2}}{\cos \alpha} \right) \quad (1.8-17)$$

同样表明反射波与入射波振幅相等，相位差为  $2\phi_{TM}$ 。所以 TM 偏振下全反射相移为

$$\Gamma = 2\phi_{TM} \quad (1.8-18)$$

全反射相移  $\Gamma$  与入射角  $\alpha$  有关，图 1.3 示出了在几种确定折射率比的情况下，两种偏振状态  $\Gamma$  对  $\alpha$  的依赖关系：入射角从全反射临界角增至  $90^\circ$ ，全反射相移从 0 增至  $\pi$ 。

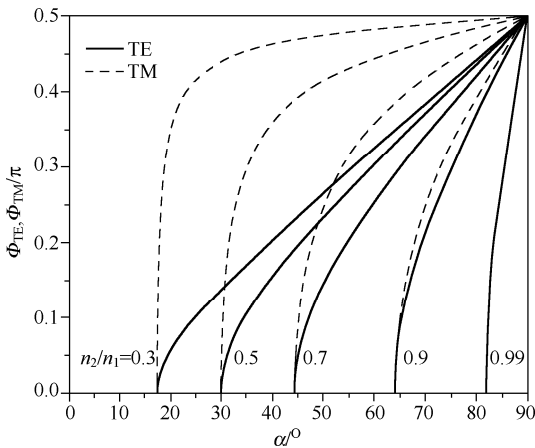


图 1.3 全反射相移与入射角的关系

前面的分析，都是认为光束的反射点与入射点在同一位置，然而 Goos 和 Hänchen 通过实验精确测出全反射光线的位置，发现并不像通常认为的那样，而是沿表面产生了一个位移  $\Delta z$ ，从而使反射光线产生一侧向位移  $D$ ，如图 1.4 所示，这一位移  $D$  称作古斯-汉森 (Goos-Hänchen) 位移。位移的大小与入射角和偏振状态有关，是波长的量级。

上面已经给出了全反射相移  $\Gamma$ ，进一步应用电磁波理论可以证明

$$\Delta z = \frac{\partial \Gamma}{\partial \beta} \quad (1.8-19)$$

式中， $\beta = n_1 k_0 \sin \alpha$ 。设  $n_{21} = n_2 / n_1$ ，那么 TE 和 TM 偏振的 Goos-Hänchen 位移分别为

$$D_{\text{TE}} = \frac{\lambda_1}{\pi} \frac{\sin \alpha}{\sqrt{\sin^2 \alpha - n_{21}^2}} \quad (1.8-20)$$

$$D_{\text{TM}} = \frac{n_{21}^2}{(1 + n_{21}^2) \sin^2 \alpha - n_{21}^2} D_{\text{TE}} \quad (1.8-21)$$

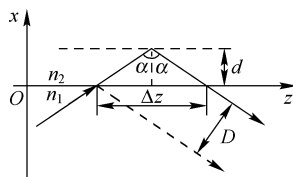


图 1.4 Goos-Hänchen 位移

在入射角接近全反射临界角时，Goos-Hänchen 位移最大，随入射角的增大而快速减小，如图 1.5 所示。可以这样理解全反射时的光线传播：入射光线穿过界面一定深度，在第二种介质中的某虚平面上进行无相移的全反射，导致实际界面上的反射点与入射点有一距离。从中还可以得出光线的入射深度

$$d = \frac{1}{2} \Delta z \cdot \cot \alpha = \frac{\lambda}{2\pi} \frac{1}{\sqrt{n_1^2 \sin^2 \alpha - n_2^2}} \quad (1.8-22)$$

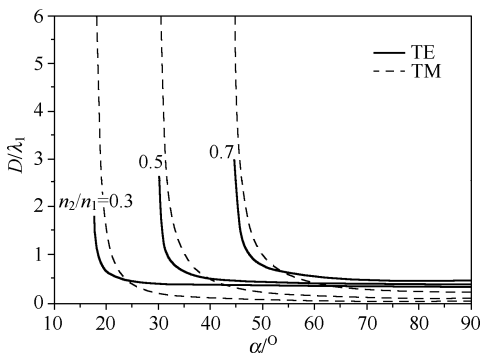


图 1.5 Goos-Hänchen 位移与入射角的关系

这和倏逝波的穿透深度[式(1.7-7)]刚好是一致的。实际上，全反射相移和 Goos-Hänchen 位移以及倏逝波是紧密相关的，在波导和光纤理论、金属表面波、近场光学中均有广泛的应用。

## 习题

1-1 基本概念：波矢，波数，波阻抗，缓变介质，坡印亭矢量，电磁波能量密度，能流密度，光强，倏逝波，穿透深度，全反射相移，古斯-汉森位移。

1-2 设单色电磁波的场为  $\vec{E} = \vec{E}(\vec{r})e^{i\omega t}$ ， $\vec{H} = \vec{H}(\vec{r})e^{i\omega t}$ ，写出关于  $\vec{E}(\vec{r})$  和  $\vec{H}(\vec{r})$  的 Maxwell 方程的矢量形式和分量形式。

1-3 推导菲涅耳公式。

1-4 分别推导 TE 偏振波和 TM 偏振波的全反射相移。

1-5 讨论全反射相移与古斯-汉森位移之间的关系。